

文章编号: 1000-5862(2020)04-0373-05

埋嵌型镍铁合金纳米颗粒的制备及其应变场研究

陈明月, 周 行*

(江西师范大学物理与通信电子学院 江西 南昌 330022)

摘要: 通过脉冲激光沉积系统和快速热退火工艺, 制备了在 Al_2O_3 薄膜中生长的埋嵌型镍铁合金纳米颗粒; 再通过有限元分析方法, 发现退火温度不仅对埋嵌型镍铁合金纳米颗粒的尺寸大小的影响非常显著, 而且还会改变镍铁合金纳米颗粒所受到的应变场分布, 使纳米颗粒的相关性能得到进一步提升. 因此, 探究退火温度对埋嵌型镍铁合金纳米颗粒所受到的应变场分布造成的影响有着十分重要的研究意义, 同时也为镍铁合金纳米颗粒的机械性能以及软磁性能的调控方法提供了一条崭新的思路.

关键词: 镍铁合金; 纳米颗粒; 有限元分析; 应变场分布

中图分类号: O 482.54 文献标志码: A DOI: 10.16357/j.cnki.issn1000-5862.2020.04.08

0 引言

铁磁材料是在人类日常生活中不可或缺的一种重要材料. 一般来说, 只需要一个较小的磁场就可以使这种材料达到磁化饱和的程度. 因此, 铁磁材料给人类的发展和进步带来了深远的影响, 包括在国防科技、电子通信、交通运输以及工程技术等领域各个方面均有着极为广泛的应用^[1-3]. 如在生产生活中常用的扬声器、麦克风、发电机、电磁继电器、传感器等就是利用不同的硬磁材料或者软磁材料制成的; 从在电子产业中常用的微波电子管、显像管、磁阻器件、霍尔器件等到在磁存储技术中使用的磁存储器件, 都要用到各种各样的铁磁材料^[4-6].

由于科技的不断发展, 原有的铁磁材料的性能已经无法满足当代社会的迫切需要. 因此, 人类想要持续发展就必须研发出新的磁性材料. 在众多新型磁性材料中, 软磁材料因为其磁学性能较为突出(高磁导率和低矫顽力)而引起了学者们的广泛关注. 然而, 传统的软磁材料普遍是单组分的过渡金属, 这些材料早已被研究透彻^[7-8], 已经没有办法再使其性能进一步地提高. 因此, 为了提升性能, 人们逐渐把关注点放在双金属过渡金属体系的材料上. 如镍铁合金就是其中一种性能优异而且应用还非常广泛的双金属过渡金属体系的软磁材料, 这种超合金材料不仅热膨胀效应较低, 而且具有高导磁率、高

饱和磁化强度和低磁滞损耗等优良的磁学性能. 就目前来说, 大多学者关注的重点是镍铁合金的力学性能(机械性能)和软磁性能. 然而, 当材料的尺寸降至纳米量级时, 材料许多方面的性能会受到其形貌结构的显著影响. 相对于块体材料而言, 双金属纳米合金在电学、磁学、光学和催化等多个领域中所表现出来的性能更加显著^[9-12].

在通常情况下可以采用机械化学法^[13-14]、气相法、水热法和湿化学法等来制备镍铁合金纳米颗粒. 但是这些制备方法较复杂, 条件难掌控, 很难使纳米颗粒保持均匀的形态和尺寸大小. 针对这一情况, 通过脉冲激光沉积方法以及快速退火工艺制备出了均匀分散在固态基质薄膜中的埋嵌型镍铁合金纳米颗粒. 这种纳米颗粒不但不会发生团聚现象, 而且形貌结构稳定、颗粒分布均匀、径粒尺寸一致. 在快速退火的过程中, 纳米颗粒与固态基质二者之间时刻保持着紧密镶嵌的状态, 由于二者的杨氏模量和泊松比的不同导致二种材料的热膨胀程度出现差异, 使得固态基质材料对纳米颗粒产生了较强的应力作用^[15-17]. 这种应变场不仅会对纳米颗粒的生长过程造成显著的影响, 而且还能极大地提升材料的软磁性能^[18]. 因此, 通过调节快速退火过程中的工艺参数可实现对镍铁合金纳米颗粒的尺寸以及纳米颗粒所受到的应力进行有效调控, 同时也为实现对纳米器件的磁学性能进行有效调控提供有力依据^[19].

收稿日期: 2020-01-22

基金项目: 国家自然科学基金(51761017, 51661012, 51461019)资助项目.

通信作者: 周 行(1988-), 男, 江西南昌人, 副教授, 博士, 主要从事纳米材料研究. E-mail: 408958049@qq.com

1 实验

在实验过程中,其主要原理是通过激光分子束外延(Laser molecular beam epitaxy, LMBE)等仪器设备将腔体环境一直维持在高真空的条件下,然后利用光学透镜将 Coherent(相干)激光公司生产的 KrF(氟化氪)准分子脉冲激光器产生的高能量密度的脉冲激光聚焦成一个小点,并保证光斑能够照射在高真空腔体内的固体靶材表面上进行不断地烧蚀。在这个过程中,脉冲激光会和固体靶材产生相互作用,从而产生淡蓝色的等离子羽状物(激光羽烟现象)。随后固体靶材表面被激光烧蚀的物质会随着等离子羽状物发生相应的转移并沉积在另一侧的基底表面上,最终得到样品薄膜。其中 LMBE 腔内的真空度需要维持在 1×10^{-7} Torr 左右;准分子脉冲激光器产生的脉冲激光的能量、波长和频率分别设置

为 300 mJ、248 nm 和 10 Hz。被脉冲激光不断灼烧的固体靶材是由带缺口的圆形基底靶材和矩形合金靶材组合成一个完整的圆柱体薄片(见图 1)。其中带缺口的圆形基底靶材是由高纯度(99.99%)的 Al_2O_3 制成的一个圆柱体薄片(直径为 4 cm、厚度为 3 mm)并在其边缘位置处挖出一个长为 1.5 cm、宽为 8 mm 的矩形缺口。而矩形合金靶材是用镍铁合金(Ni: Fe = 1:1)制成的能与基底靶材缺口相匹配的薄矩形块。在实验中,还需要让固体靶材以一个非常小的速率缓慢地围绕着中心轴旋转,保证高能量密度的脉冲激光可以连续交替地在基底靶材以及合金靶材的表面上进行灼烧,并以硅片或 TEM 载网作为基底进行沉积,再将得到的薄膜样品分为 2 组分别进行 400 °C 和 600 °C 快速热退火处理(均在氮气氛围中退火),最终得到在这 2 种温度下生长在 Al_2O_3 固态基质薄膜中的埋嵌型镍铁合金纳米颗粒。

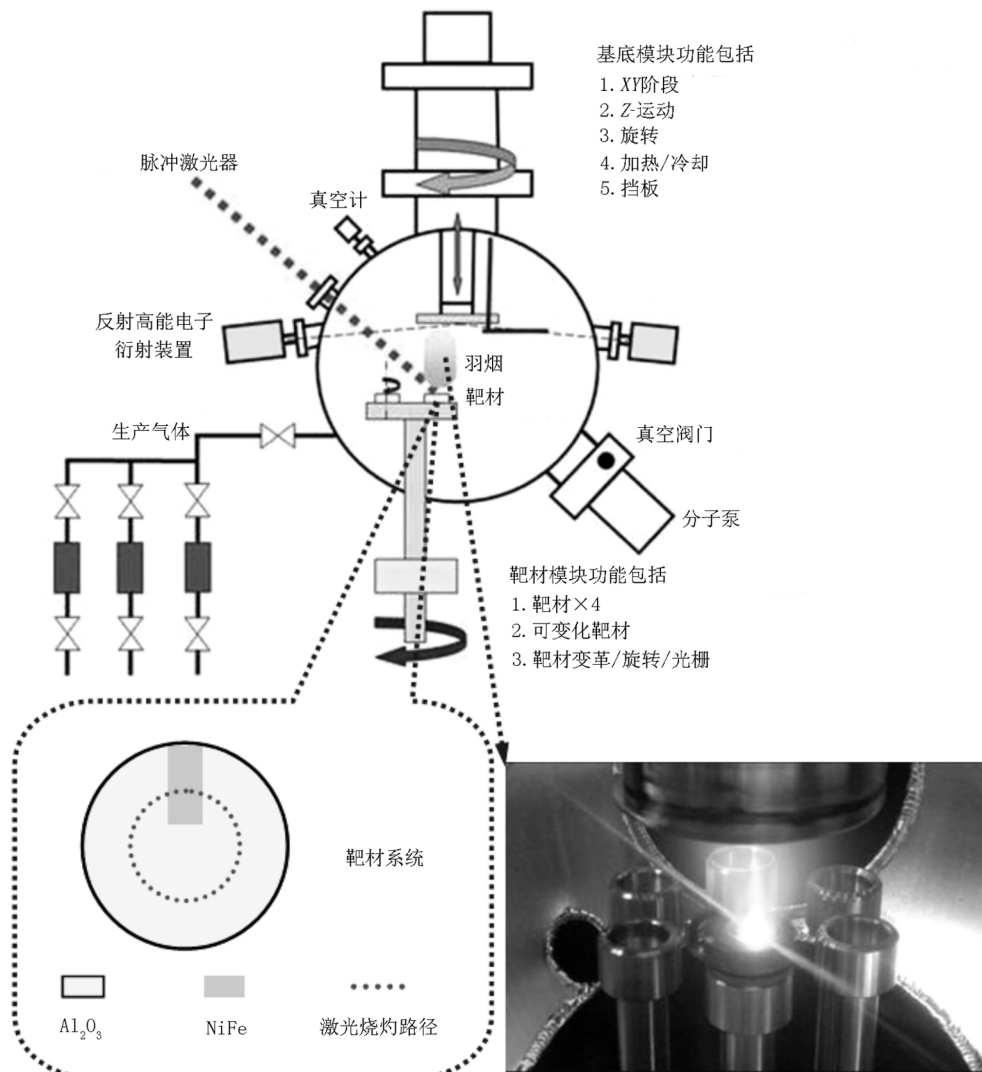
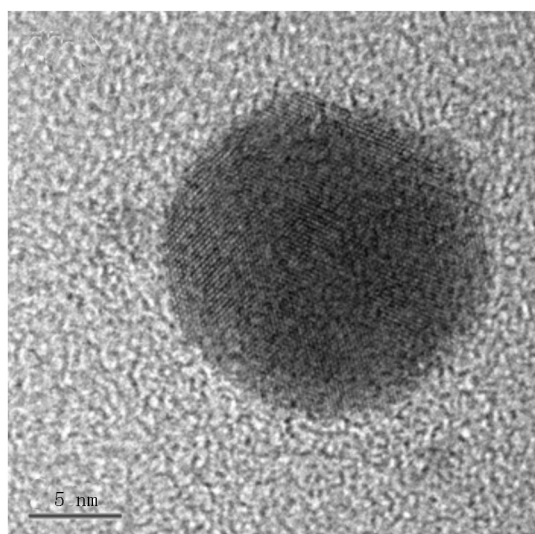


图1 脉冲激光沉积系统示意图和激光羽烟

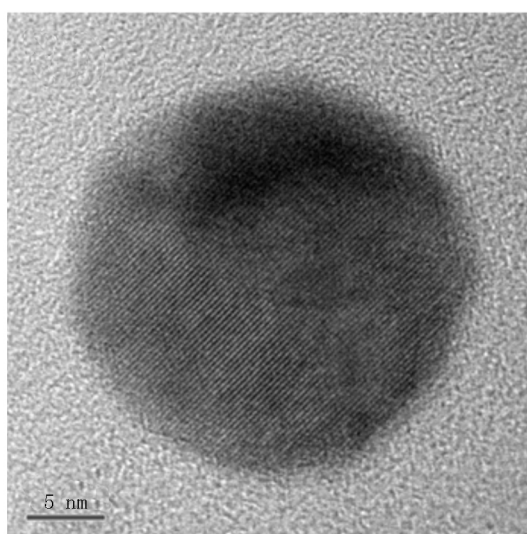
通过 2010JEOL 高分辨透射电子显微镜 (HTEM) 分别观察这 2 组实验样品,其结果如图 2

所示. 图 2(a) 和图 2(b) 分别为经过 400 °C 和 600 °C 快速热退火处理的单个镍铁合金纳米颗粒高分辨率透射电子显微镜图像. 仔细观察这 2 张图片, 发现在 2 组样品中的镍铁合金纳米颗粒均呈球状埋嵌在非晶态的 Al_2O_3 基质中, 而且其中纳米颗粒的晶格结构清晰可见. 对比在 2 种样品中的镍铁合金纳米颗粒, 进一步发现在经过 400 °C 快速热退火处理的样品中的镍铁合金纳米颗粒的直径约为 15 nm, 而在经过 600 °C 快速热退火处理的样品中的镍铁合金纳米颗粒的直径约为 20 nm. 这种现象表明在实验过程中退火温度的差异会极大地影响埋嵌型镍铁合金

纳米颗粒的尺寸. 不仅如此, 而且在图 2(a) 中的镍铁合金纳米颗粒的球形显得更加完美, 而在图 2(b) 中的镍铁合金纳米颗粒则略有变形, 这主要是因为, 在快速退火过程中, 由于纳米颗粒和周围基质材料的热膨胀系数失配而使其不可避免地受到周围基质材料对其施加相应的应变作用, 这种强应力不仅会影响纳米颗粒的尺寸大小, 而且还会影响纳米颗粒的晶格结构使其出现晶格畸变现象. 由此可见, 在快速热退火处理过程中的温度变化与纳米颗粒所受到的应力大小有着极为密切的关系.



(a) 经过 400 °C 快速热退火处理



(b) 经过 600 °C 快速热退火处理

图 2 单个镍铁合金纳米颗粒高分辨率透射电子显微镜图像

2 模拟仿真

为了进一步研究埋嵌型镍铁合金纳米颗粒受到的应变场和在快速热退火处理过程中的温度之间的内在联系, 本文通过计算机模拟仿真的方法对埋嵌型镍铁合金纳米颗粒所受到的应变场分布进行了相应的定性分析. 常用的模拟仿真方法主要有: 有限元分析方法(Finite Element Analysis)、分子动力学方法(Molecular Dynamics)和连续介质力学分析等. 在上述这些方法中, 由于分子动力学方法的计算量过于庞大, 而且计算过程非常复杂, 耗时也比一般方法要多; 而连续介质力学分析又只能处理相对比较容易的物理模型, 对于纳米颗粒的应变场分布这种需要精细模拟的仿真过程难以实现. 有限元分析方法是依靠数学近似的思想来处理真实物理系统的相关问题, 将在真实物理系统中的实际问题最终替换成了相对简单的问题来进行求解, 因此得到的最终结

果实际上是近似解, 而不是精确解. 虽然有限元分析方法得到的最终结果是近似解, 但是其结果与实际问题的吻合度非常好, 而且许多物理实际问题难以精确求解, 再加上有限元分析方法的计算精度非常高, 能够对许多复杂形状的物理模型进行模拟. 因此, 就目前而言, 采用有限元分析方法来模拟计算埋嵌型镍铁合金纳米颗粒的应变场分布是最为合适的仿真方法. 最近一段时间, 已经有不少学者开始关注用有限元分析方法来模拟埋嵌型纳米颗粒的应变场分布^[20-21].

ANSYS 软件是在有限元分析方法(FEA)中最为常用的几种分析软件之一. 利用 ANSYS 软件分别对经过 400 °C 和 600 °C 快速热退火处理的镍铁合金纳米颗粒所受到的应变场分布情况进行定性模拟, 并分析应力分布与退火温度之间的内在关联. 物理模型的建模方法如下: 在一个边界为无限大且材料属性为各向同性的线性弹性的矩形(模拟非晶态薄膜)的中心位置挖空出一个圆形区域, 同时在圆形

区域中放置 1 个同样大小且材料属性同为各向同性的线性弹性的圆形(模拟球状纳米颗粒),并保证圆形和矩形处于紧密镶嵌状态(模拟单个镍铁合金纳米颗粒在非晶态基质材料中生长的情况).由于纳米颗粒在生长过程中会向四周不断膨胀,而固态基质无法快速适应这个变化而对纳米颗粒产生了相应的压缩应变作用^[22].而根据物体热胀冷缩的特性,外界环境的温度(退火温度)越高,纳米颗粒的热膨胀系数就越大.在模拟计算过程中,镍铁合金(Ni:Fe = 1:1)和 Al_2O_3 材料的杨氏模量(Young's modulus)分别为 200 Gpa 和 360 Gpa,泊松比(Poisson's ratio)分别为 0.30 和 0.24.利用该模型可较好地模拟在 2 种快速热退火温度下生长的埋嵌型镍铁合金纳米颗粒所受到的应变场强度分布^[23-25].

3 讨论分析

图 3 是在 2 种不同退火温度下生长的球状镍铁合金纳米颗粒埋嵌在 Al_2O_3 基质中的截面应变场分布图.通过不同颜色区域与应力标尺之间的对应关系,发现在 2 种样品中的镍铁合金纳米颗粒均受到了非均匀应变作用.图 4 是在 2 种不同退火温度下生长的球状镍铁合金纳米颗粒埋嵌在 Al_2O_3 基质中的 $x-y$ 平面应变曲线.通过观察,发现在这 2 种样品中的镍铁合金纳米颗粒均受到了周围基质材料对其施加的压缩应变作用,不仅是纳米颗粒内部受到的压缩应变作用要小于纳米颗粒表面受到的压缩应变作用,而且在经过 400 °C 快速热退火处理的样品中的埋嵌型镍铁合金纳米颗粒所受的压缩应变作用也要小于在经过 600 °C 快速热退火处理的样品中的埋嵌型镍铁合金纳米颗粒所受的压缩应变作用.造成这些现象主要有 2 个原因:(i) 当外界环境温度逐步升高时,纳米颗粒在生长过程中因热胀冷缩而向四周不断膨胀,此刻周围固态基质无法快速地适应纳米颗粒的体积变化而对其产生了较强的压缩应变作用.因为纳米颗粒与固态基质之间的材料属性有所不同,即这 2 种材料具有不同的杨氏模量和泊松比,导致纳米颗粒的内部区域和表面区域的膨胀速率不一样,最终导致纳米颗粒的内部和表面受到的压缩应变作用出现差异^[26-27].(ii) 快速退火的温度越高,晶核就能拥有更多的表面能,其周围的原子会在表面扩散的作用下源源不断地朝晶核附着,最终团聚成一个更大的纳米颗粒^[28].在这个过程中,由于快速退火温度的差异导致了纳米颗粒的热膨胀系

数不同.快速退火的温度越高会使纳米颗粒的热膨胀系数越大,从而导致周围基质材料对纳米颗粒施加更大的压缩应变作用.这种压缩应变作用不仅会对埋嵌型镍铁合金纳米颗粒的生长过程造成影响,而且还会影响纳米颗粒的键长大小,甚至会使纳米颗粒发生晶格畸变,造成纳米颗粒的物理化学性质发生改变.因此,研究快速退火温度对埋嵌型镍铁合金纳米颗粒所受到的应变场作用产生的影响具有十分重要的意义.

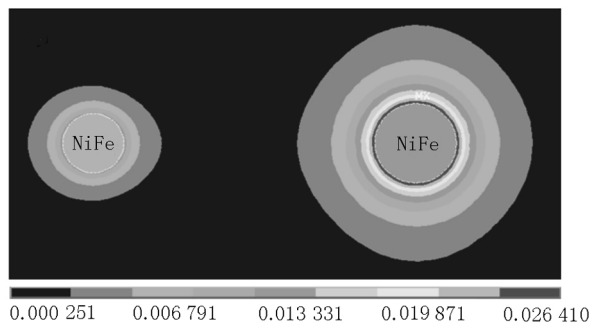


图 3 400 °C 快速热退火处理的 NiFe 合金纳米颗粒(左)和 600 °C 快速热退火处理的 NiFe 合金纳米颗粒(右)在 Al_2O_3 基质中的截面应变分布

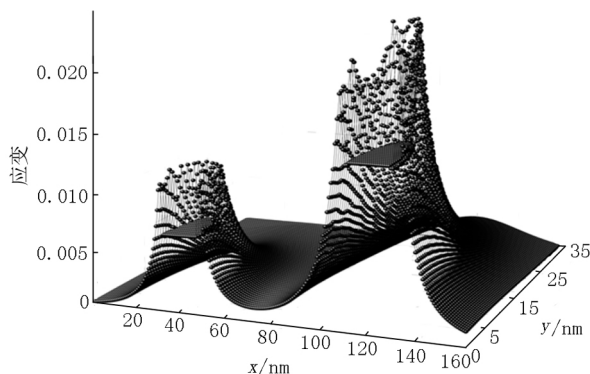


图 4 400 °C 快速热退火处理的 NiFe 合金纳米颗粒(左)和 600 °C 快速热退火处理的 NiFe 合金纳米颗粒(右)在 Al_2O_3 基质中的 $x-y$ 平面应变曲线

4 结论

利用脉冲激光沉积方法和快速退火工艺制备出了在 400 °C 温度环境下和在 600 °C 温度环境下生长的埋嵌型镍铁合金纳米颗粒.通过高分辨透射电子显微镜观察样品,发现这 2 种镍铁合金纳米颗粒的晶格结构清晰,颗粒尺寸大小有着明显的差异.为了研究埋嵌型镍铁合金纳米颗粒的尺寸大小与基质材料对其施加的应力大小之间的关系,进一步探索纳米颗粒的应变场分布与退火温度之间的紧密联系,通过有限元分析方法,利用 ANSYS 软件对在 2 种温度环境下生长的埋嵌型镍铁合金纳米颗粒的应变场

分布进行了精细模拟,研究发现埋嵌型镍铁合金纳米颗粒的表面和内部区域均受到了程度不同的非均匀应变作用,而且随着退火温度的升高,镍铁合金纳米颗粒的尺寸也随之增加,纳米颗粒所受到的应力越大。因此,探究退火温度对埋嵌型镍铁合金纳米颗粒所受到的应变场分布造成的影响对于有效调控纳米颗粒的力学性能和磁学性能有着极为重要的指导意义。

5 参考文献

- [1] Zihlmann S, Makk P, Vaz C A F, et al. Hexagonal boron nitride as an atomically thin oxidation barrier for ferromagnetic nano structures [EB/OL]. [2019-12-17]. <https://arxiv.org/abs/1509.03087v1>.
- [2] Kim J, Rong Chuanbing, Lee Y, et al. From core/shell structured FePt/Fe₃O₄/MgO to ferromagnetic FePt nanoparticles [J]. *Chemistry of Materials* 2008, 20(23): 7242-7245.
- [3] Lambert C H, Mangin S, Varaprasad B S D Ch S, et al. All-optical control of ferromagnetic thin films and nano-structures [J]. *Science* 2014, 345(6202): 1337-1340.
- [4] Ahmed A, Gajbhiye N S. Intrinsic ferromagnetic behavior in Fe-doped Cu₂O octahedra due to cation vacancy defect [EB/OL]. [2019-12-17]. http://www.essuir.sumdu.edu.ua/bitstream/123456789/37286/1/ahmed_octahedra.pdf.
- [5] Baltz V, Sort J, Rodmacq B, et al. Thermal activation effects on the exchange bias in ferromagnetic-antiferromagnetic nanostructures [J]. *Physical Review B*, 2005, 72(10): 104419.
- [6] Mohammed Salah E H, Hehn M, Malinowski G, et al. Materials and devices for all-optical helicity-dependent switching [J]. *Journal of Physics D: Applied Physics* 2017, 50(13): 133002.
- [7] Suzuki K, Parsons R, Zang Bowen, et al. Copper-free nanocrystalline soft magnetic materials with high saturation magnetization comparable to that of Si steel [J]. *Applied Physics Letters* 2017, 110(1): 12407.
- [8] Huang Likai, Yuan Zhonghui, Tao Bingshan, et al. Noise suppression and sensitivity manipulation of magnetic tunnel junction sensors with soft magnetic Co_{70.5}Fe_{4.5}Si₁₅B₁₀ layer [J]. *Journal of Applied Physics*, 2017, 122(11): 113903.
- [9] Li Zhenhua, Truhlar D G. Nanothermodynamics of metal nanoparticles [J]. *Chemical Science* 2014, 5(7): 2605-2624.
- [10] Yen Chunwan, Lin Mengliang, Wang Aiqin, et al. Co oxidation catalyzed by Au-Ag bimetallic nanoparticles supported in mesoporous silica [J]. *Journal of Physical Chemistry C* 2009, 113(41): 17831-17839.
- [11] Zhang Hua, Jin Rongchao, Mirkin C A. Synthesis of open-ended, cylindrical Au-Ag alloy nanostructures on a Si/SiO_x surface [J]. *Nano Letts* 2004, 4(8): 1493-1495.
- [12] Linic S, Christopher P, Ingram D B. Plasmonic-metal nanostructures for efficient conversion of solar to chemical energy [J]. *Nature Materials* 2011, 10(12): 911-921.
- [13] Liu Yin, Qin Xiaoying, Qiu Tai. Magnetic properties of nanostructural γ -Ni-28Fe alloy [J]. *Trans Nonferr Met Soc China* 2006, 16(6): 1370-1373.
- [14] Azizi A, Sadrnezhad S K. Synthesis of Fe-Ni nano-particles by low-temperature hydrogen reduction of mechanically alloyed Ni-ferrite [J]. *J Alloys Compd* 2009, 485(1/2): 484-487.
- [15] Choi W K, Ng V, Ng S P, et al. Raman characterization of germanium nanocrystals in amorphous silicon oxide films synthesized by rapid thermal annealing [J]. *J Appl Phys*, 1999, 86(3): 1398-1403.
- [16] Wellner A, Paillard V, Bonafos C, et al. Stress measurements of germanium nanocrystals embedded in silicon oxide [J]. *J Appl Phys* 2003, 94(9): 5639-5642.
- [17] Chew H G, Zheng Feihu, Choi W K, et al. Influence of reductant and germanium concentration on the growth and stress development of germanium nanocrystals in silicon oxide matrix [J]. *Nanotechnology* 2007, 18(6): 65302.
- [18] Ren Wei, Yang Yurong, Diéguez O, et al. Ferroelectric domains in multiferroic BiFeO₃ films under epitaxial strains [J]. *Phys Rev Lett* 2013, 110(18): 187601.
- [19] Jin Zuanming, Xu Yue, Zhang Zhengbing, et al. Strain modulated transient photostriction in La and Nb codoped multiferroic BiFeO₃ thin films [J]. *Applied Physics Letters* 2012, 101(24): 242902.
- [20] Liu Guirong, Dai Keyang, Nguyen T T. A smoothed finite element method for mechanics problems [J]. *Computational Mechanics* 2007, 39(6): 859-877.
- [21] Levitas V I, Idesman A V, Palakala A K. Phase-field modeling of fracture in liquid [J]. *J Appl Phys*, 2011, 110(3): 33531.
- [22] 张求龙, 江子雄, 袁彩雷, 等. 埋嵌在超薄 Al₂O₃ 薄膜中的 Ni 纳米颗粒在生长过程中的应变场分布 [J]. *中国科学: 物理学, 力学, 天文学* 2012, 42(7): 711-715.
- [23] Benabbas T, Androussi Y, Lefebvre A. A finite-element study of strain fields in vertically aligned InAs islands in GaAs [J]. *J Appl Phys*, 1999, 86(4): 1945-1950.
- [24] Pei Qingxiang, Lu Cheng, Wang Yunyu. Effect of elastic anisotropy on the elastic fields and vertical alignment of quantum dots [J]. *J Appl Phys* 2003, 93(3): 1487-1492.
- [25] Shin H, Lee W, Yoo Y H. Comparison of strain fields in truncated and un-truncated quantum dots in stacked InAs/GaAs nanostructures with varying stacking periods [J]. *J Phys Condens Matter* 2003, 15(22): 3689-3699.

(下转第423页)

The Theoretical Study on the Configurations ,Electronic Structures and Electrochemical Hydrogen Evolution of Zn-Doped MoS₂

ZHANG Hongge¹ ,ZHU Jia^{1*} ,ZHANG Yongfan²

(1. College of Chemistry and Chemical Engineering ,Jiangxi Normal University ,Nanchang Jiangxi 330022 ,China;

2. College of Chemistry ,Fuzhou University ,Fuzhou Fujian 350116 ,China)

Abstract: The geometrical configurations ,electronic structures and the hydrogen evolution performance of molybdenum disulfide (MoS₂) and Zn doped molybdenum disulfide (Zn-MoS₂) at different doped concentrations are studied by density functional theory (DFT) . The results show that after Zn doped molybdenum disulfide ,the Gibbs free energy of atomic H adsorption on Zn-MoS₂ is significantly decreased to -0.09 eV ,which is close to the ideal value (about 0 eV) ,indicated hydrogen adsorption performance is effectively improved. Analysis of electronic structures show that a new gap state which originates from Zn-3d state appears near the Fermi energy level of the Zn-MoS₂ , which indicates that the electronic structure of molybdenum disulfide is effectively modulated. There also is a new electronic state of S-3p orbital occurred near the Fermi energy level of the Zn-MoS₂ ,which results in effectively overlapping between the S-3p orbital and the H-1s orbital and further significantly optimizing the hydrogen adsorption performance. Furthermore ,the analysis of Zn doped MoS₂ at different doping density show that the system can remain excellent catalytic activity for hydrogen evolution reaction. The electronic properties of the MoS₂ can be effectively modulated by Zn doping MoS₂ at different doping density ,and further the electro catalytic activity for hydrogen evolution reaction is improved.

Key words: MoS₂; Zn doping; electronic properties; electrocatalytic activity for hydrogen evolution reaction; density functional theory (责任编辑: 刘显亮)

(上接第 377 页)

[26] Hofmeister H ,Dubiel M ,Goj H ,et al. Microstructural investigation of colloidal silver embedded in glass [J]. Journal of Microscopy ,1995 ,177(3) :331-336.

[27] Voronkov V V ,Falster R. Strain-induced transformation of amorphous spherical precipitates into platelets: application to oxide particles in silicon [J]. Journal of Applied Phys-

ics 2001 ,89(11) :5965-5971.

[28] Yuan Cailei ,Lee P S ,Ye Shuangli. Formation ,photoluminescence and charge storage characteristics of Au nanocrystals embedded in amorphous Al₂O₃ matrix [J]. Europhys Lett 2007 ,80(6) :67003.

The Preparation and Strain Field Study of Embedded Ni-Fe Alloy Nanoparticles

CHEN Mingyue ,ZHOU Hang*

(College of Physics and Communication Electronics ,Jiangxi Normal University ,Nanchang Jiangxi 330022 ,China)

Abstract: Through the pulse laser deposition system and rapid thermal annealing process ,the embedded Ni-Fe alloy nanoparticles grown in the Al₂O₃ film are prepared. Through the finite element analysis ,it is also found that the annealing temperature not only has a significant effect on the size of embedded Ni-Fe alloy nanoparticles ,but also can change the strain field distribution of Ni-Fe alloy nanoparticles ,so that the related properties of nanoparticles can be further improved. Therefore ,it is of great significance to explore the effect of annealing temperature on the strain field distribution of embedded Ni-Fe alloy nanoparticles ,and it also provides a new way to control the mechanical properties and soft magnetic properties of Ni-Fe alloy nanoparticles.

Key words: Ni-Fe alloy; nanoparticles; finite element analysis; strain field distribution (责任编辑: 冉小晓)